

УДК 532.536

## Резонансное влияние топографии дна на поверхность наклонного слоя вязкой жидкости\*

Е.А. Демехин<sup>1</sup>, Е.М. Шапарь<sup>1</sup>, А.С. Селин<sup>2</sup>

<sup>1</sup>Южный научный центр РАН, Краснодар

<sup>2</sup>Кубанский государственный университет, Краснодар

Исследовалась реакция поверхности раздела пленки на волнистость стенки малой амплитуды. Рассматривалась линеаризованная версия задачи, описываемая уравнением Орра–Зоммерфельда, решение искалось асимптотическим разложением по малому параметру  $1/Re$ , а также решалась обычная спектральная задача на устойчивость к возмущениям вида  $\exp[i\alpha(x-ct)]$ .

Расчеты показали, что при некоторых специально подобранных волновых числах  $\alpha$  эффекты сноса и дисперсии уравновешивают друг друга, давая нулевую результирующую скорость  $c_R = 0$ . Если предположить, что жесткая стенка имеет волнистость с тем же  $\alpha$ , то можно говорить, что стоячие волны, вызванные волнистой стенкой, находятся в резонансе с собственными возмущениями второго типа.

В работе [1] рассматривалось стекание слоя вязкой жидкости со свободной поверхностью по наклонной плоскости с волнистой стенкой и реакция поверхности раздела на волнистость малой амплитуды. Численно решалась линеаризованная версия задачи. Варьируя угол наклона, длину волны и число Рейнольдса, авторы получили при некоторых параметрах неожиданный эффект аномально сильного влияния волнистости на возникающие на поверхности стоячие волны, которые оказались необычно большой амплитуды. В полной постановке без линеаризации задача решалась в работе [2], выводом которой также стала аномально сильная реакция поверхности раздела на волнистость дна при некоторых параметрах течения. Физическая причина явления, однако, осталась непонятой.

В настоящей работе, как и в [1], рассматривается линеаризованная версия задачи, описываемая уравнением Орра–Зоммерфельда с соответствующими краевыми условиями. Поскольку явление обычно наблюдается при больших числах Рейнольдса  $Re$ , решение искалось асимптотическим разложением по малому параметру  $1/Re$ . Аналитическое решение находится в неплохом соответствии с численным.

Кроме того, в работе решается обычная спектральная задача на устойчивость к возмущениям вида  $\exp[i\alpha(x-ct)]$ . Среди счетного множества собственных значений  $\{c^{(k)}\}$  два соответствуют поверхностным волнам. Первый тип возмущений распростра-

---

\* Работа выполнена при финансовой поддержке РФФИ (гранты 05-08-33585а, 06-08-96637-р-юг-а.)

няется вниз по потоку  $c_R > 0$ , и может быть причиной неустойчивости  $\alpha c_I > 0$ , поэтому обычная теория устойчивости ограничивается только этой модой [3]. Существует, однако, второй тип собственных возмущений, распространяющихся вверх по потоку  $c_R < 0$ . Поскольку эти возмущения всегда гаснут  $\alpha c_I < 0$ , они не рассматривались ранее теоретически. Наши расчеты показали, что при некоторых специально подобранных волновых числах  $\alpha$  эффект сноса и дисперсии уравновешивают друг друга, давая нулевую результирующую скорость  $c_R = 0$ . Если предположить, что жесткая стенка имеет волнистость с тем же  $\alpha$ , то можно говорить, что стоячие волны, вызванные волнистой стенкой, находятся в резонансе с собственными возмущениями второго типа. Расстройкой резонанса является мнимая часть скорости  $c_i \neq 0$ , которая при больших  $Re$  мала. В пределе невязкой жидкости получено универсальное соотношение для волнового числа резонанса  $\alpha_m$

$$3\cot\theta / Re + \alpha_m^2 We = g(\alpha_m).$$

Приведенные рассуждения были полностью подтверждены сравнением параметров резонанса, полученных во второй и третьей частях работы.

#### ПОСТАНОВКА ЗАДАЧИ

Рассматривается течение слоя вязкой жидкости с плотностью  $\rho$ , вязкостью  $\nu$  и поверхностным натяжением  $\sigma$  по наклонной волнистой поверхности. Форма дна описывается уравнением  $y = f(x)$ .

Реакция поверхности раздела задается формулой  $y = h(x)$ , где  $h(x)$  должно определяться в процессе решения задачи.

Величины становятся безразмерными, если привести длины к толщине слоя в невозмущенном случае  $f = 0$   $h_0$ , а скорости — к средней скорости  $u_0 = gh_0^2 \sin\theta / 3\nu$ ; третьей базисной величиной обезразмеривания является плотность жидкости. Система уравнений, описывающая движение, имеет вид [4, 5]:

$$\frac{\partial u}{\partial t} + u \frac{\partial u}{\partial x} + v \frac{\partial u}{\partial y} = -\frac{\partial p}{\partial x} + \frac{1}{Re} \left( \frac{\partial^2 u}{\partial x^2} + \frac{\partial^2 u}{\partial y^2} + 3 \right), \quad (1)$$

$$\frac{\partial u}{\partial t} + u \frac{\partial u}{\partial x} + v \frac{\partial u}{\partial y} = -\frac{\partial p}{\partial x} + \frac{1}{Re} \left( \frac{\partial^2 u}{\partial x^2} + \frac{\partial^2 u}{\partial y^2} - 3\cot\theta \right), \quad (2)$$

$$\frac{\partial u}{\partial x} + \frac{\partial v}{\partial y} = 0, \quad (3)$$

где  $Re = u_0 h_0 / \nu = gh_0^3 \sin\theta / 3\nu^2$  — число Рейнольдса. На стенке  $y = f$  имеет место условие прилипания

$$u = v = 0, \quad (4)$$

в то время как на поверхности раздела  $y = h(x, t)$  выполняются два динамических и одно кинематическое условие [4, 5]:

$$\begin{aligned}
-p - \text{We}K + \frac{2}{\text{Re}} \frac{1+h_x^2}{1-h_x^2} \frac{\partial u}{\partial y} &= p_0, \\
\frac{\partial u}{\partial y} + \frac{\partial v}{\partial x} + \frac{4h_x}{1-h_x^2} \frac{\partial v}{\partial y} &= 0, \\
v &= \frac{\partial h}{\partial t} + u \frac{\partial h}{\partial x},
\end{aligned}$$

где  $\text{We} = \sigma / \rho h_0 u_0^2 = 3^2 \sigma v^2 / p g^2 h_0^5 \sin^2 \theta$  — число Вебера,

$$K = \left( \frac{h_x}{\sqrt{1+h_x^2}} \right)_x. \quad (5)$$

Предположение о малой волнистости дна позволяет линеаризовать задачу. Форма дна считается синусоидальной с некоторым волновым числом  $\alpha$

$$f = \hat{f} \exp(i\alpha x),$$

здесь комплексное сопряжение пропускается. Реакция поля скоростей и поверхности на волнистость дна в линейной постановке выражается возмущениями того же вида:

$$u = U + \hat{u}e^{i\alpha x}, \quad v = \hat{v}e^{i\alpha x}, \quad h = 1 + \hat{h}e^{i\alpha x}.$$

При подстановке этих соотношений в систему уравнений (1)–(3), линеаризации задачи и введении функции тока  $\hat{u} = \phi'$ ,  $\hat{v} = -i\alpha\phi$  получается краевая задача для уравнения Орра–Зоммерфельда:

$$\phi^{IV} - 2\alpha^2\phi'' + \alpha^4\phi = i\alpha \text{Re} \left[ U(\phi' - \alpha^2\phi) - U''\phi \right], \quad (6)$$

$$y = 1: \quad \phi''' - 3\alpha^2\phi' - \frac{3}{2}i\alpha \text{Re} \phi' - 3i\alpha \cot \theta \hat{h} - i\alpha^3 \text{Re} \text{We} \hat{h} = 0, \quad (7)$$

$$\phi'' + \alpha^2\phi = 3\hat{h}, \quad \phi = -\frac{3}{2}\hat{h}, \quad (8)$$

$$y = 0: \quad \phi' = 0, \quad \phi' = -3\hat{f}, \quad (9)$$

где  $U = 3(y - 1/2y^2)$ . Цель исследования — получить зависимость реакции  $\hat{h}/\hat{f}$  от параметров задачи  $\text{Re}$ ,  $\text{We}$ ,  $\theta$  и  $\alpha$ . Число безразмерных параметров уменьшается на один для фиксированной жидкости. Действительно,  $\text{We} = 3^{1/3} \gamma / \text{Re}^{5/3} (\sin \theta)^{1/3}$ , где  $\gamma = \sigma \rho^{-1} \nu^{-4/3} g^{-1/3}$  — число Капицы, описывающее физические свойства жидкости. Для воды  $\gamma = 2850$ . Для фиксированной жидкости параметрами являются  $\text{Re}$ ,  $\theta$  и  $\alpha$ .

#### АСИМПТОТИКА БОЛЬШИХ ЧИСЕЛ РЕЙНОЛЬДСА

Экспериментально аномально большой отклик на волнистость имеет место при числах Рейнольдса порядка десятков и сотен, поэтому будет рассмотрен предел больших чисел Рейнольдса. Внешнее асимптотическое разложение ищется в виде

$$\phi \sim \Phi^{(0)} + \frac{1}{\alpha \text{Re}} \Phi^{(1)}. \quad (10)$$

Будут использоваться только первые члены в разложении и опускаться надстрочный символ ноль.  $\Phi^{(0)}$  удовлетворяет уравнению Рэлея

$$\Phi'' - \left( \alpha^2 + \frac{U''}{U} \right) \Phi = 0, \quad (11)$$

где  $U''/U = -1/(y - (1/2)y^2)$ . Это уравнение имеет сингулярную точку при  $y = 0$ . В работе [6] было найдено два фундаментальных решения (11) в виде разложения около особой точки для бегущей со скоростью  $c$  волны. В нашем случае  $c = 0$ , разложения Толлмина принимают вид:

$$\Phi_1 \sim y - \frac{1}{2}y^2 + \frac{1}{6}\alpha y^3,$$

$$\Phi_2 \sim 1 + y \ln y + \frac{1}{2}y^2 \ln y + \left( \frac{1}{2}\alpha^2 - 1 \right) y^2 - \frac{1}{6}\alpha^2 y^3 \ln y.$$

Первое из этих решений регулярно, а второе имеет сингулярность логарифмического вида.

В силу особенности решение уравнения Рэлея не может удовлетворить граничным условиям на стенке (9). Следовательно, необходимо рассмотреть вязкое внутреннее решение около  $y = 0$ .

Пусть  $F_1(y)$  и  $F_2(1)$  — два некоторых фундаментальных решения уравнения (11). С точки зрения численного решения задачи  $U_x$  удобно выбрать таким образом, чтобы

$$F_1(1) = 0, \quad F_1'(1) = 1, \quad (12)$$

$$F_2(1) = 1, \quad F_2'(1) = 0. \quad (13)$$

В окрестности  $y = 0$  решение уравнения Рэлея может быть представлено как линейная комбинация регулярного и особого решений  $\Phi_1$  и  $\Phi_2$ :

$$F_1(y) \sim a_{11}(\alpha) \Phi_1(y) + a_{12}(\alpha) \Phi_2(y), \quad (14)$$

$$F_2(y) \sim a_{21}(\alpha) \Phi_1(y) + a_{22}(\alpha) \Phi_2(y), \quad (15)$$

где коэффициенты  $a_{ij}$  являются функциями только волнового числа  $\alpha$  и не зависят от  $Re$ ,  $\theta$  и  $\gamma$ . Эти функции были получены численным интегрированием (11) с условиями (12)–(13), и это единственный численный результат, который необходим для решения всей задачи. Результаты расчета  $a_{ij}$  затабулированы в таблице.

**Таблица**

| $\alpha$ | $\alpha_{11}$ | $\alpha_{12}$ | $\alpha_{21}$ | $\alpha_{22}$ |
|----------|---------------|---------------|---------------|---------------|
| 0,0200   | 0,1533        | -0,5000       | 0,1999        | 0,0001        |
| 0,4404   | 0,2359        | -0,5213       | 0,1894        | 0,5279        |
| 0,8408   | 0,4698        | -0,5802       | 1,5592        | 0,2029        |
| 1,2462   | 0,9050        | -0,6846       | 0,8311        | 0,4811        |
| 1,8468   | 2,1017        | -0,9492       | -1,7782       | 1,2789        |
| 2,2422   | 3,4530        | -1,2233       | -7,8318       | 2,7616        |
| 2,6126   | 5,3542        | -1,5821       | -1,1205       | 3,4977        |

Внешнее невязкое решение также не удовлетворяет граничным условиям на свободной поверхности  $y = 1$  (однако вблизи свободной поверхности решение является регулярным в отличие от решения около стенки  $y = 0$ ). Вблизи свободной поверхности вводится растянутая переменная  $\xi$ :

$$\xi = m(y-1), \quad m = \frac{\sqrt{3\alpha \text{Re}}}{2}, \quad \frac{d}{dy} = m \frac{d}{d\xi}, \quad (16)$$

где  $m \rightarrow \infty$ . Внутренне разложение ищется в виде

$$\phi_I \sim \phi_I^{(0)}(\xi) + \frac{1}{m} \phi_I^{(1)}(\xi), \quad (17)$$

где подстрочный символ “ $I$ ” используется для обозначения того, что решение взято вблизи поверхности раздела. Уравнение Ора–Зоммерфельда после подстановки в него (16), (17) и удержания только первого члена разложения принимает вид

$$\frac{d^4 \phi_I}{d\xi^4} - 2i \frac{d^2 \phi_I}{d\xi^2} = 0. \quad (18)$$

Это уравнение имеет четыре линейно независимых решения:  $1$ ,  $\xi$ ,  $e^{(I+i)\xi}$  и  $e^{-(I+i)\xi}$ . Последнее решение растет экспоненциально при удалении от поверхности раздела  $y = 1$  и, как следствие, не может срастись с внешним решением. Таким образом, около поверхности раздела вязкое решение можно представить в виде комбинации трех оставшихся решений

$$\phi_I = A + B\xi + Ee^{(I+i)\xi}, \quad (19)$$

где  $A$ ,  $B$  и  $E$  константы, которые могут быть легко получены из граничных условий (7)–(9) на поверхности раздела:

$$A = \left[ \frac{i(\alpha^2 + 2)}{\alpha \text{Re}} - \frac{3}{2} \right] \hat{h}, \quad (20)$$

$$mB = \left[ \frac{\sqrt{3\alpha^2}(\alpha^2 + 2)(1+i)}{(\alpha \text{Re})^{3/2}} - 2 \frac{\text{ctg}\theta}{\text{Re}} - \frac{2}{3} \alpha^2 \text{We} \right] \hat{h}, \quad (21)$$

$$E = \frac{-i(\alpha^2 + 2)}{\alpha \text{Re}} \hat{h}. \quad (22)$$

Члены порядка малости выше, чем  $(\alpha \text{Re})^{3/2}$ , считаются пренебрежимо малыми.

Теперь обратимся к внутреннему вязкому решению около стенки  $y = 0$ . В качестве параметра разложения взято  $k \rightarrow \infty$  и вводится растянутая переменная  $\eta$ :

$$k = (3\alpha \text{Re})^{1/3}, \quad \eta = ky, \quad d/dy = k(d/d\eta). \quad (23)$$

Внутреннее решение ищется в виде разложения

$$\phi_W \sim \phi_W^{(0)} + \frac{1}{k} \phi_W^{(1)}, \quad (24)$$

где символ “ $W$ ” обозначает внутреннее решение около стенки. В нулевом приближении получается уравнение Эйри

$$\frac{d^4 \phi_W^{(0)}}{d\eta^4} - i\eta \frac{d^2 \phi_W^{(0)}}{d\eta^2} = 0. \quad (25)$$

Это уравнение имеет четыре линейно независимых решения:  $1$ ,  $\eta$ ,  $\chi_1(\eta)$ , и  $\chi_2(\eta)$ . Функции  $\chi_1(\eta)$  и  $\chi_2(\eta)$  являются обобщенными функциями Эйри. Поскольку функция  $\chi_2(\eta)$  растет при  $\eta \rightarrow \infty$ , она не подходит для внешнего разложения и исключается из рассмотрения. Таким образом,  $\phi_W^{(0)}$  является линейной комбинацией трех оставшихся линейно независимых функций  $1$ ,  $\eta$  и  $\chi = \chi_1(\eta)$

$$\phi_W^{(0)} = M + N\eta + Q\chi(\eta), \quad (26)$$

где  $M$ ,  $N$  и  $Q$  константы, которые могут быть получены из граничных условий (9) и из условия сращивания с внешним разложением.

Первое фундаментальное решение  $1$  сращивается при  $\eta \rightarrow \infty$  с внешним решением  $\Phi_2$  при  $y \rightarrow 0$ . Второе фундаментальное решение  $\eta$  сращивается при  $\eta \rightarrow \infty$  с внешним решением  $\Phi_1$  при  $y \rightarrow 0$ . Чтобы сращивание включало в  $\Phi_2$  и  $\Phi_1$  члены  $\ln y$  и  $1/2y^2$  соответственно, необходимо использовать внутреннее разложение более высокого порядка, включающее  $\phi_W^{(1)}$ . Следующий член внутреннего разложения (23), соответствующий  $\phi_W^{(0)} = 1$ , удовлетворяет уравнению

$$\frac{d^4 \phi_{W,1}^{(1)}}{d\eta^4} - i\eta \frac{d^2 \phi_{W,1}^{(1)}}{d\eta^2} = i, \quad (27)$$

решение которого ведет себя как  $\eta \ln \eta$  при  $\eta \rightarrow \infty$  и соответствует логарифмическому члену в  $\Phi_2$ . Аппроксимация следующего порядка для  $\phi_{W,2}^{(0)} \equiv \eta$  соответствует уравнению:

$$\frac{d^4 \phi_{W,2}^{(1)}}{d\eta^4} - i\eta \frac{d^2 \phi_{W,2}^{(1)}}{d\eta^2} = i\eta, \quad (28)$$

с частным решением

$$\phi_{W,2}^{(0)} = -\frac{1}{2}\eta^2, \quad (29)$$

соответствующим квадратичному члену в  $\Phi_2$ .

Подстановка (26) в граничные условия при  $y = 0$  (9) даст соответственно:

$$M + Q\chi(0) = 0, \quad (30)$$

$$KN + kQ\chi'(0) = -3\hat{f},$$

откуда следует:

$$Q = -M/\chi(0), \quad (31)$$

$$kN - kM \frac{\chi'(0)}{\chi(0)} = -3\hat{f}, \quad (32)$$

где функция  $\chi'(0)/\chi(0)$  задается формулой [7]

$$\frac{\chi'(0)}{\chi(0)} = -1,288 e^{1/6(\pi i)}. \quad (33)$$

Постоянные  $M$  и  $N$  определяются из сращивания с внешним решением. Для получения выражения, описывающего реакцию поверхности на волнистость стенки, необходимо согласовывать все полученные разложения.

Из условия сращивания внутреннего разложения при  $\xi \rightarrow -\infty$  с внешним при  $y \rightarrow 1$  следует

$$\Phi(y) = AF_2(y) + mBF_1(y), \quad (34)$$

где  $A$  и  $B$  определяются из (19)–(22), а  $F_1$  и  $F_2$  удовлетворяют условиям (12)–(13).

Невязкое внешнее разложение является суперпозицией  $\Phi_1(y)$  и  $\Phi_2(y)$ , т. е.

$$\begin{aligned} \Phi(y) &= A(\alpha_{21}\Phi_1 + a_{22}\Phi_2) + mB(a_{11}\Phi_1 + a_{12}\Phi_2) = \\ &= (a_{11}mB + a_{21}A)\Phi_1 + (a_{12}mB + a_{22}A)\Phi_2, \end{aligned} \quad (35)$$

которое при  $y \rightarrow 0$  имеет вид

$$\Phi(y) \sim (\alpha_{11}mB + a_{21}A)(y - 1/2y^2 + \dots) + (a_{12}mB + a_{22}A)(1 + y \ln y + \dots).$$

Из условия сращивания (35) с внутренним разложением (26) можно получить выражения для постоянных  $M$  и  $N$

$$M = a_{12}mB + a_{22}A,$$

$$KN = a_{11}mB + a_{21}A,$$

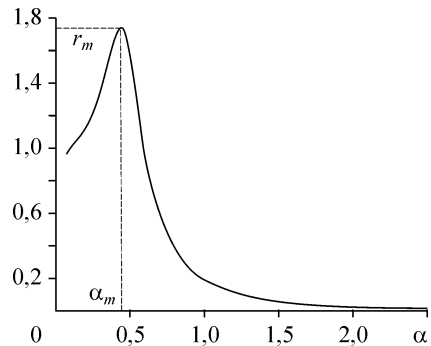
и, в конечном итоге, подставляя эти выражения в (32), получить окончательные выражения для реакции

$$\frac{\hat{h}}{\hat{f}} = -3 \left/ \left( \left( a_{21} - k \frac{\chi'(0)}{\chi(0)} a_{22} \right) A + \left( a_{11} - k \frac{\chi'(0)}{\chi(0)} a_{12} \right) mB \right), \quad (36)$$

где  $A$  и  $B$  определяются из условия (19)–(22), а коэффициенты  $a_{ij}(\alpha)$  затабулированы в таблице.

Для всех приведенных расчетов рабочей жидкостью является вода  $\gamma = 2850$ . На рис. 1 показана типичная зависимость

Рис. 1. Сравнение аналитических результатов с численными, полученными методом Галеркина (пунктир),  $\theta = \pi/4$ .



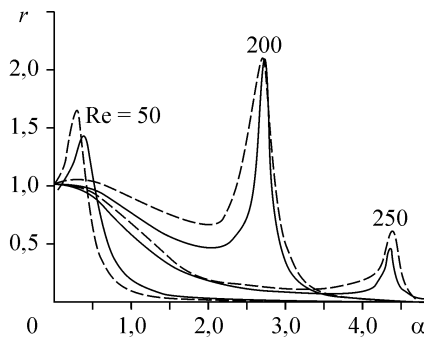


Рис. 2. Зависимость резонансного волнового числа от параметров задачи,  $Re$  и  $\theta$ . Пунктиром показано  $\alpha_m$ , полученное из условия, что скорость поверхностной моды, распространяющейся вверх по потоку, равна нулю,  $C_R = 0$ .

модуля  $r = |\hat{h}/\hat{f}|$  от волнового числа  $\alpha$  при  $Re = 50$  и  $\theta = \pi/6$ . При  $\alpha = \alpha_m$  зависимость  $r(\alpha)$  имеет ярко выраженный максимум  $r = r_m$ , где амплитуда реакции раздела почти в два раза превышает амплитуду волнистости стенки.

Физическая природа максимума пока не известна.

На рис. 2 показано сравнение результатов аналитической формулы (36) с точным численным решением, полученным методом Галеркина, использованным в [2]. В качестве базисных функций использованы полиномы Чебышева [8]. Число базисных функций  $N = 32$ . При удвоении числа функций результат меняется в четвертом знаке после запятой. Имеется хорошее соответствие между асимптотическими результатами, верными при  $Re \rightarrow \infty$ , и точными численными, исключая случаи волнистости с малым волновым числом в области малых чисел Рейнольдса. Сравнение асимптотического и численного решений для разных углов наклона показывает, что асимптотическая теория хорошо работает для больших и умеренных углов наклона.

На рис. 3 и 4 сплошной линией представлена зависимость  $\alpha_m$  и  $r_m$  от угла  $\theta$  при различных числах Рейнольдса. Для малых  $Re$  не существует максимума  $\alpha_m$ . При увеличении  $Re$  зависимость приобретает максимум, амплитуда которого увеличивается при увеличении  $Re$ .

### 3. СПЕКТРАЛЬНАЯ ТЕОРИЯ

Результаты расчетов предсказывают необычно большую амплитуду отклика  $r_m$ , вплоть до трех. Конечно, необходимо принять во внимание нелинейность реакции, что предполагает решение полной системы Навье–Стокса, как это сделано в [2]. Но вопрос об аномально большом отклике остается, и ключ к его решению нужно искать в резонансе волнистости с поверхностными модами линейной устойчивости.

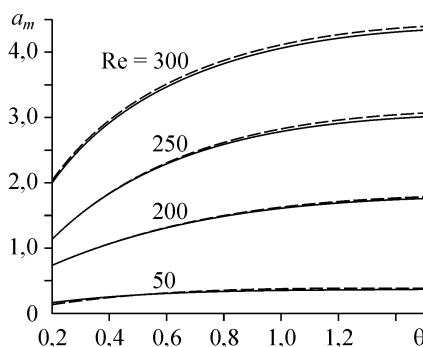


Рис. 3. Зависимость резонансного отклика  $r_m$  от параметров задачи,  $\theta$  и  $Re$ .

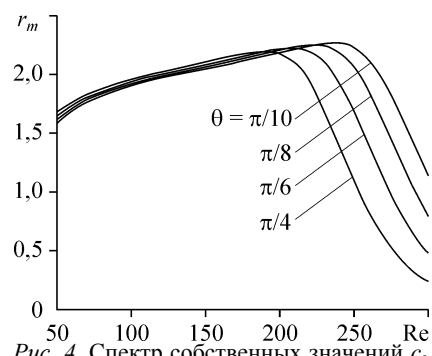


Рис. 4. Спектр собственных значений  $c_k$  задачи об устойчивости в комплексной плоскости,  $\theta = \pi_3$ ,  $Re = 250$ .  
 $\alpha = 2,6 (1), 3,0 (2), 3,6 (3)$ .



Задача линейной устойчивости тривиального решения описывается краевой задачей на собственные значения для уравнения Орра–Зоммерфельда [4, 5]:

$$\phi^{IV} - 2\alpha^2\phi'' + \alpha^4\phi = i\alpha \operatorname{Re}[(U - c)(\phi'' - \alpha^2\phi) - U''\phi], \quad (37)$$

$$y = 1: \phi''' - 3\alpha^2\phi' + i\alpha \operatorname{Re}(c - 3/2)\phi' - 3\alpha \operatorname{ctg}\theta - i\alpha^3 \operatorname{Re} We = 0, \quad (38)$$

$$\phi'' - \alpha^2\phi + 3, \quad \phi = (c - 3/2), \quad y = 0: \phi = \phi' = 0, \quad (39)$$

Как и задача о реакции (6)–(9), она может быть решена численно методом Галеркина с базисными функциями Чебышева  $T_j(z)$ ,  $j = 0, 1, \dots, N$ ,  $z = 2y - 1 \in [-1, +1]$ . Искомая функция  $\phi$  представлялась в виде разложения

$$\phi = \sum_{j=0}^N \beta_j T_j(z),$$

где  $\beta_j$  — неизвестные коэффициенты разложения. Используя такое разложение искомой функции по первым  $N - 4$  полиномам Чебышева, уравнение (37) можно представить в виде однородной системы

$$(A + cB) \begin{pmatrix} \beta_1 \\ \vdots \\ \beta_n \end{pmatrix} = 0. \quad (40)$$

При подстановке разложения для функции  $\phi$  в граничные условия (38)–(39) получались недостающие четыре уравнения для замыкания системы (40). Существование нетривиального решения возможно только при условии равенства нулю определителя  $|A + cB|$ . Для нахождения собственных значений применялся *QR*-алгоритм.

В работе представлены результаты только применительно к рассматриваемой задаче, число функций в каждом случае выбиралось  $N = 32$ .

На рис. 5 приведены результаты типичного расчета спектра комплексных собственных значений  $\{c_k\}$ , который состоит из счетного множества сдвиговых внутренних и двух поверхностных мод. Последние на фигуре обозначены сплошными круглыми символами. Скорость поверхностных мод является комбинацией двух эффектов: 1) распространение сигнала относительно неподвижной среды соответственно вниз и вверх по потоку, 2) конвективного сноса сигнала вместе с потоком. Для одной из поверхностных мод оба эффекта складываются, и скорость всегда больше нуля. Для второй волны эти эффекты различны по знаку и могут компенсировать друг друга. Так, на рис. 5, а при  $\alpha = 2,6$  скорость второй поверхностной волны положительна. При увеличении  $\alpha$  происходит смещение этой волны вправо и при  $\alpha = 3,0$  скорость волны равна нулю. При дальнейшем увеличении  $\alpha$  скорость волны становится отрицательной. В данной системе волнистая стенка играет роль вынуждающей силы с некоторым волновым числом  $\alpha_m$  и частотой  $\omega_m = 0$ .

Условием резонанса неподвижного волнистого дна с некоторой собственной модой с волновым числом  $\alpha$  и частотой  $\omega = \alpha c$  является равенство волновых чисел и частот:  $\alpha = \alpha_m$ ,  $\omega = \omega_m = 0$ . При нулевой фазовой скорости  $c_R = 0$   $c_i \neq 0$  и, соответственно, мнимая часть скорости не равна нулю  $\omega = \alpha c = i\alpha c_i \neq 0$ , причем коэффициент  $c_i < 0$ , т. е. данная мода всегда устойчива. Мнимая часть  $\omega$  является “расстройкой”

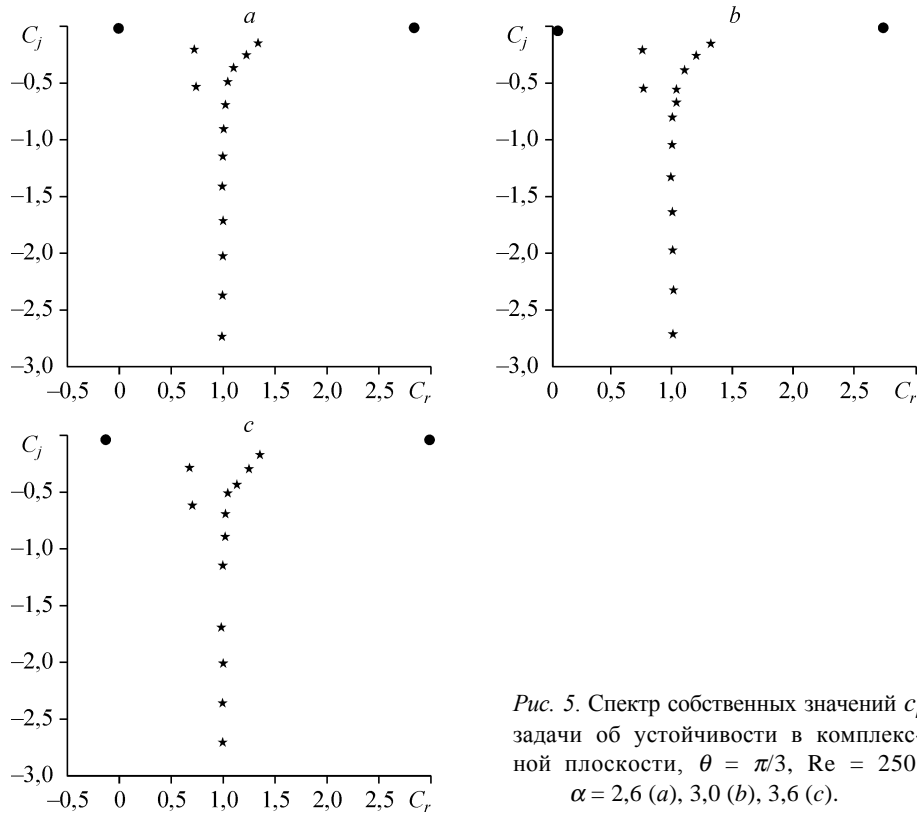


Рис. 5. Спектр собственных значений  $C_k$  задачи об устойчивости в комплексной плоскости,  $\theta = \pi/3$ ,  $Re = 250$ ,  $\alpha = 2,6$  (a),  $3,0$  (b),  $3,6$  (c).

резонанса, чем она меньше, тем сильнее резонанс и больше его амплитуда. При увеличении числа Рейнольдса вязкая диссипация уменьшается и  $\alpha c_i \rightarrow 0$ . Это объясняет, почему резонанс возникает только при достаточно больших  $Re$ . На рис. 3 пунктиром показаны  $\alpha_m$ , полученные из решения задачи (6)–(9) методом Галеркина и из решения задачи на собственные значения (37)–(39) при условии, что фазовая скорость поверхностной моды, бегущей против течения, равна нулю,  $c_R(\alpha_m) = 0$ . Результаты решения обеих задач совпали с графической точностью. Хорошее соответствие доказывает правильность гипотезы о резонансе поверхностной собственной моды и волнистости стенки. Следует подчеркнуть, что эта поверхностная мода при всех параметрах течения является устойчивой  $\alpha c_i < 0$  и в отсутствии волнистой стенки она бы затухала.

В предположении, что вязкая диссипация отсутствует, рассматривая случай  $Re \rightarrow \infty$ , можно получить универсальные условия резонанса. Действительно, полагая  $Re = \infty$  и  $c = 0$ , в невязком приближении система (37)–(39) переходит в

$$\phi'' - \left( \frac{U''}{U} + \alpha_m^2 \right) \phi = 0,$$

$$y = 1: 3 \frac{\text{ctg} \theta}{Re} + \alpha_m^2 We = \frac{9}{4} \frac{\phi'}{\phi},$$

$$y = 0: \phi = 0.$$

Рис. 6. Универсальная кривая резонанса (1), результаты решения вязкой задачи при различных углах наклона и чисел Рейнольдса (2).

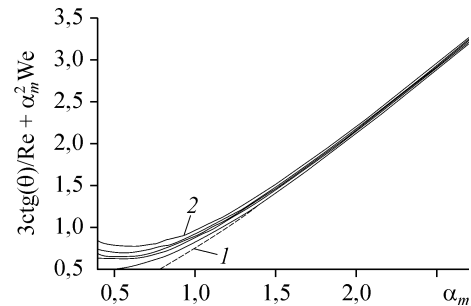
Ищется регулярное решение (41). Нетрудно показать, что в этом случае

$$\frac{\phi'(1)}{\phi(1)} = -\frac{\alpha_{22}(\alpha_m)}{\alpha_{12}(\alpha_m)},$$

и, следовательно,  $\phi'(1)/\phi(1)$  являются только функцией  $\alpha_m$  и

$$3 \frac{\text{ctg}\theta}{\text{Re}} + \alpha_m^2 \text{We} = -\frac{9}{4} \frac{\alpha_{22}(\alpha_m)}{\alpha_{12}(\alpha_m)} = g(\alpha_m). \quad (41)$$

График  $3(\text{ctg}\theta/\text{Re}) + \alpha_m^2 \text{We}$  от  $\alpha_m$  является местоположением всех точек резонанса в невязком приближении. Эта зависимость может быть получена из (36) при  $\alpha \text{Re} \rightarrow \infty$  пренебрежением вязкими членами в выражениях (20) и (21) для  $A$  и  $mB$ . При этом знаменатель (36) обращается в ноль. Универсальная зависимость изображена штриховой линией на рис. 6. Там же сплошными кривыми приведены результаты решения вязкой задачи (6)–(9) для различных  $\theta$  и  $\text{Re}$ . Исключая участок малых  $\alpha_m$ , кривые совпадают.



#### СПИСОК ЛИТЕРАТУРЫ

1. Bontozoglou V., Papapolymerou G. Laminar flow down a wavy incline // Inter. J. Multiphase Flow. — 1997. — Vol. 23. — P. 69–79.
2. Trifonov Yu.Ya. Viscous liquid film flows over a periodic surface // Inter. J. Multiphase Flow. — 1998. — Vol. 24. — P. 1139–1161.
3. Benjamin T.B. Wave formation in laminar flow down an inclined plane // J. Fluid Mech. — 1957. — Vol. 2. — P. 554–574.
4. Алексеев С.В., Накоряков В.Е., Покусав Б.Г. Волновое течение пленок жидкости. — Новосибирск: Наука, Сиб. отд-ние, 1992. — 255 с.
5. Chang H.-C., Demekhin E.A. Complex wave dynamics on thin films. — Amsterdam, Elsevier, 2002. — 402 p.
6. Tollmien W. Über die Entstehung der Turbulenz. Nachr. Ges. Wiss. Göttingen // Math.-Phys. Klasse. — 1928. — S. 21–44.
7. Benjamin T.B. Shearing flow over a wavy boundary // J. Fluid Mech. — 1959. — Vol. 6, pt 2. — P. 161–205.
8. Orszag S.A. Accurate solution of the Orr–Sommerfeld stability equation // J. Fluid Mech. — 1971. — Vol. 50, No. 4. — P. 689–704.

Статья поступила в редакцию 28 сентября 2006 г.